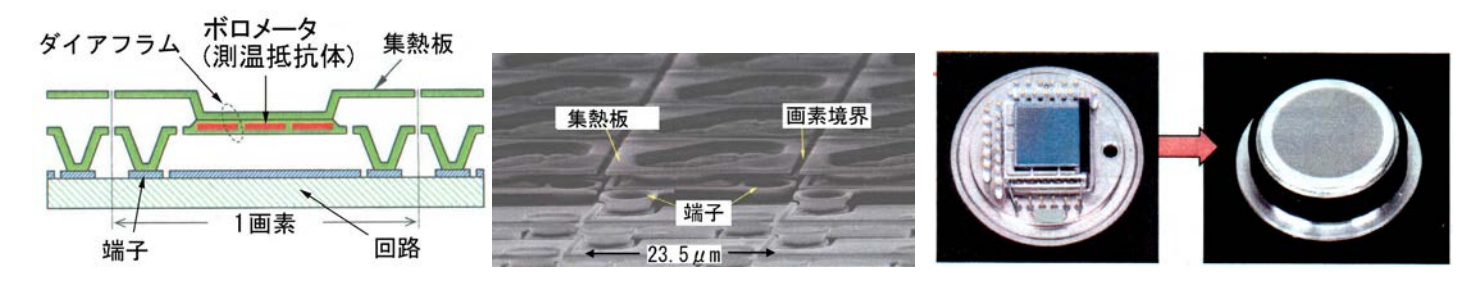
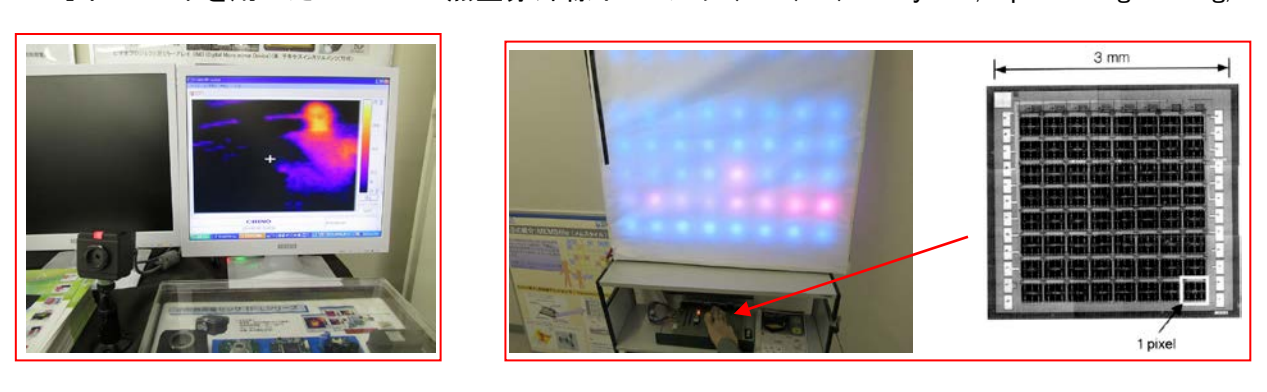
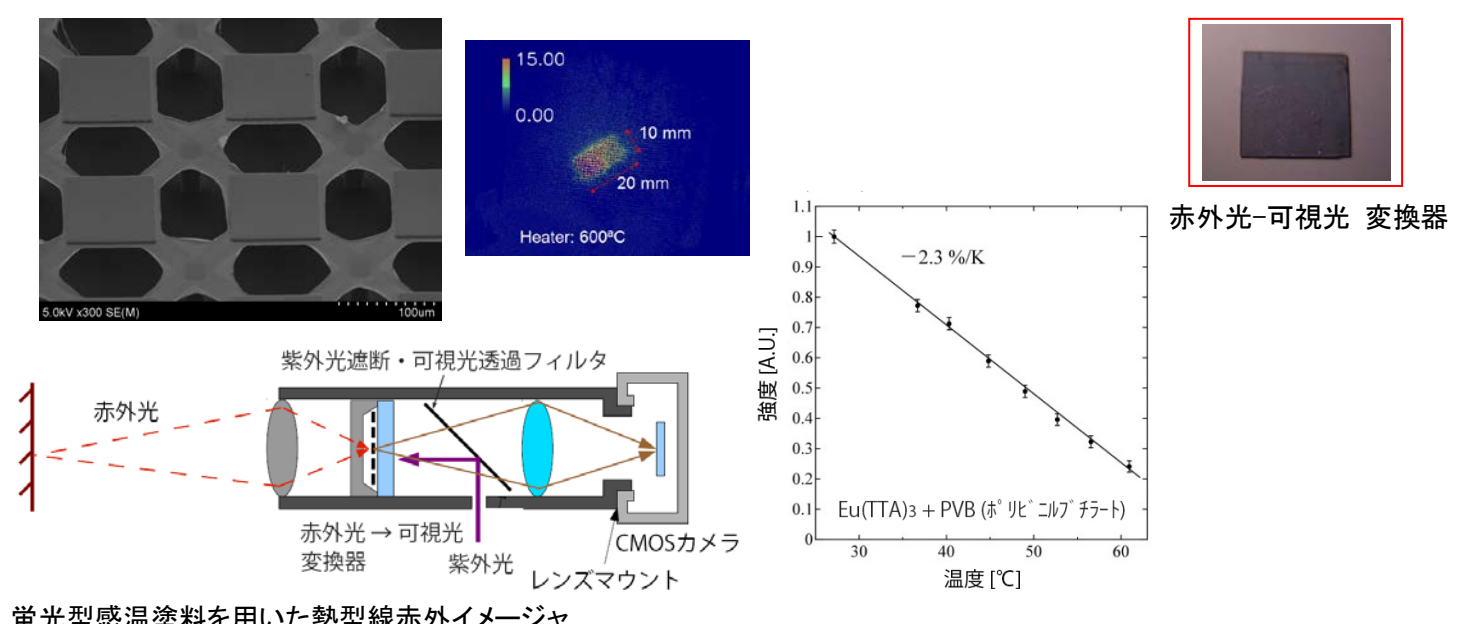
赤外線センサ・イメージャ Α1



VO₂ボロメータを用いた 640×480 熱型赤外線イメージャ(NEC)(S.Tohyama, Optical Engineering, 45 (2006) 14001)

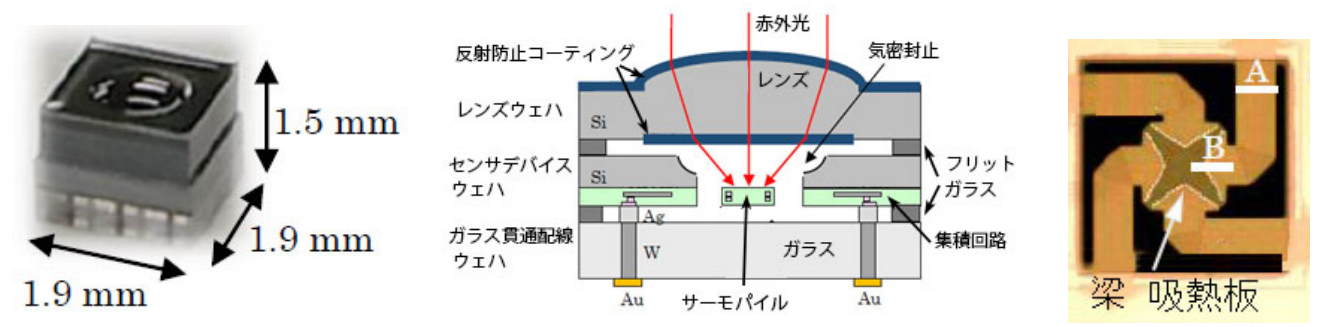


小形熱画像センサ(チノー)(展示) 8×8 サーモパイル赤外線センサ(Panasonic)(廊下展示 カード N1)



蛍光型感温塗料を用いた熱型線赤外イメージャ

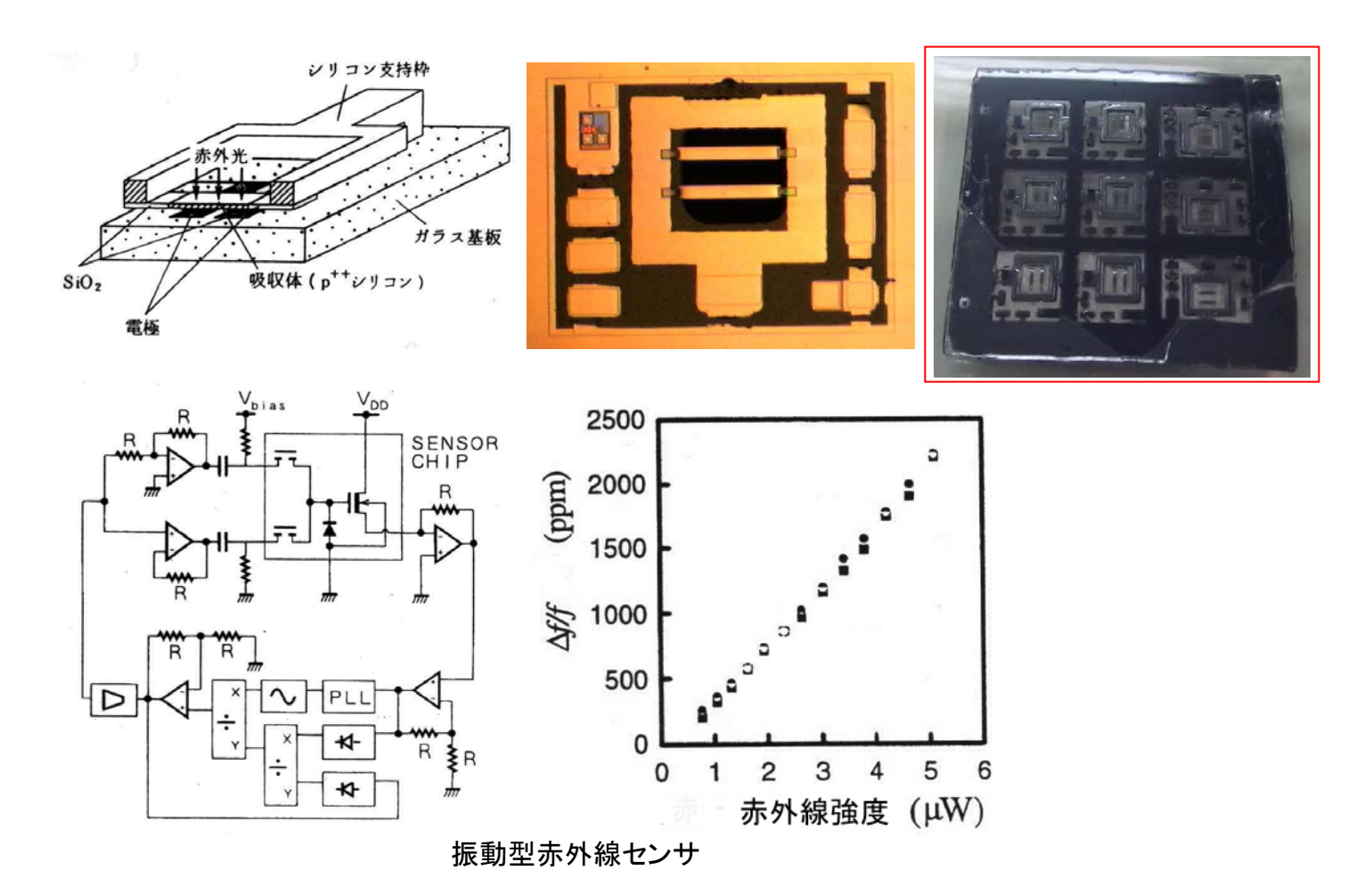
(T.Tsukamoto, M.Esashi and S.Tanaka, J. of Micromechanics and Microengineering, 23, 11 (2013) 114015)



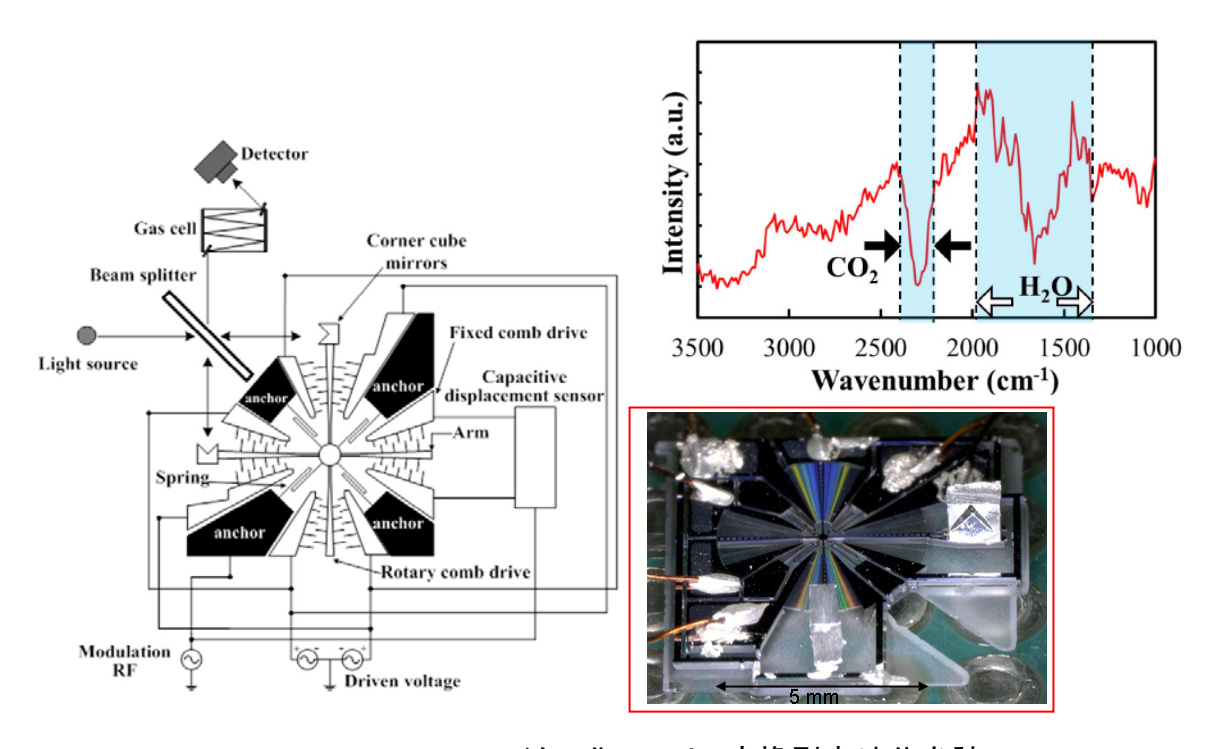
レンズー体型超小型非接触温度センサ(集積化サーモバイル赤外線センサ)(リコー)

(野口英剛, 渡辺博文 他, 第31回「センサ・マイクロマシンと応用システム」シンポジウム(2014)21pm1-B1)

A2 赤外線センサ



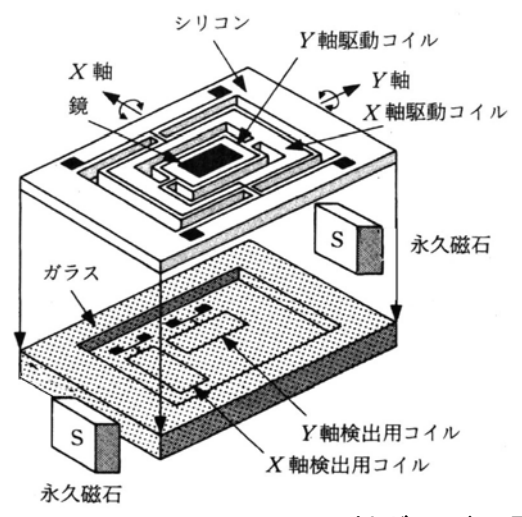
参考文献:C.Cabuz, S.Shoji, K.Fukatsu, E.Cabuz, K.Minami and M.Esashi, Fabrication and Packaging of a Resonant Infrared Sensor Integrated in Silicon, Sensors and Actuators A, 43 (1994) pp.92-99



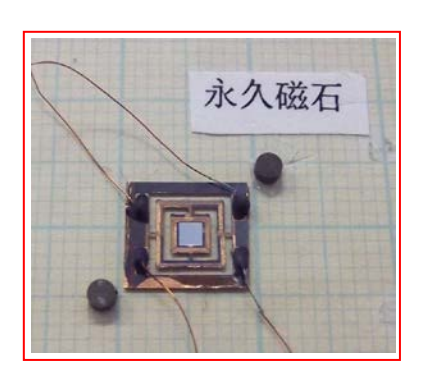
マイクロ化フーリエ変換型赤外分光計

参考文献: Y.-M. Lee, M. Toda, M.i Esashi, and T. Ono, Micro wishbone interferometer for Fourier transform infrared spectrometry, J. of Micromechanics and Microengineering, 21 (2011) 065039

A3 2 軸ガルバノ電磁光スキャナ





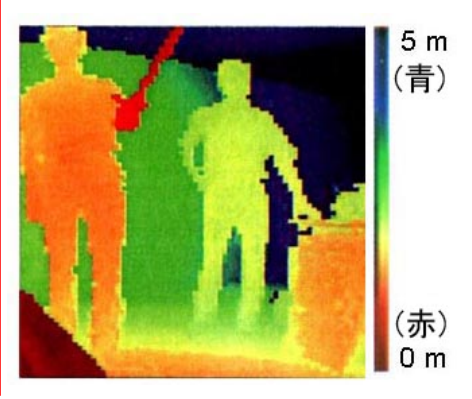


2 軸ガルバノ(電磁)光スキャナ (東北大 - 日本信号)

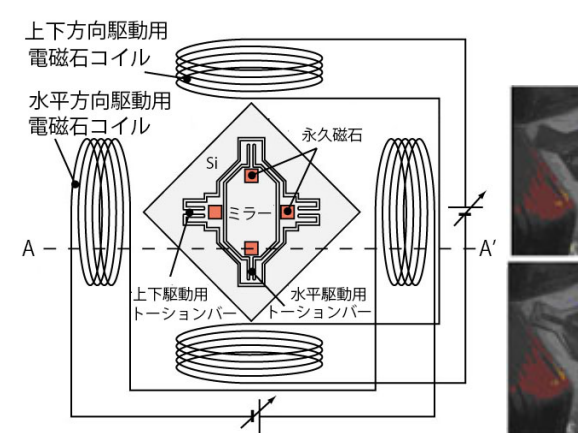
参考文献:N.Asada, H.Matsuki, K.Minami and M.Esashi:Silicon micromachined two-dimensional galvano optical scanner, IEEE Trans. on Magnetics, 30 (1994) pp.4647-4649

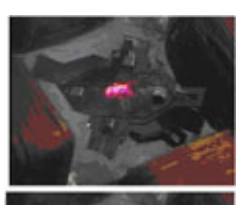


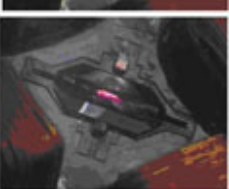


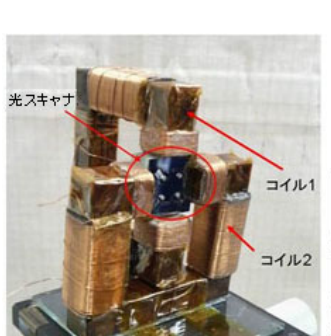


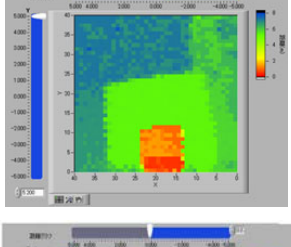
鉄道駅のプラットホームドアなどに使われる応用距離画像システム「エコスキャン」(日本信号) 参考文献:石川智之、猪俣宏明: MEMS技術とレーザ計測技術の融合 MEMS光スキャナ「ECO SCAN」を用いた測距センサ、日本信号技報、33, 1, pp.41-46 (2009)

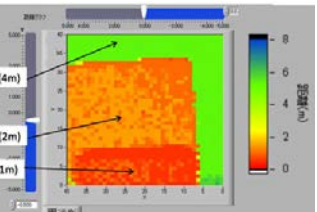












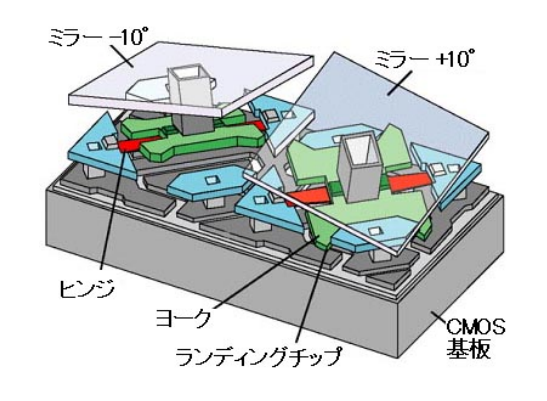
電磁式非共振大偏向角 2 軸光スキャナ

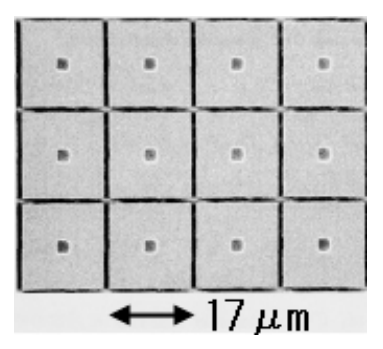
画像拡大機能

参考文献: W.Makishi, Y.Kawai and M.Esashi:Magnetic Torque Driving 2D Micro Scanner with a Non-Resonant Large Scan Angle, 電気学会論文誌 E, 130-E, 4 (2010) 135-136

A4 DMD (Digital Micromirror Device) (TI(テキサス・インスツルメンツ) 米国)

ビデオプロジェクタやディジタルシネマに用いられる CMOS チップ上に作られた静電駆動ミラーアレイ。 DLP (Digital Light Processing)と呼ばれる方式で、時分割のオンオフで諧調を表現 Al₃Ti のアモルファス金属を変形部に用いることで疲労問題を解決



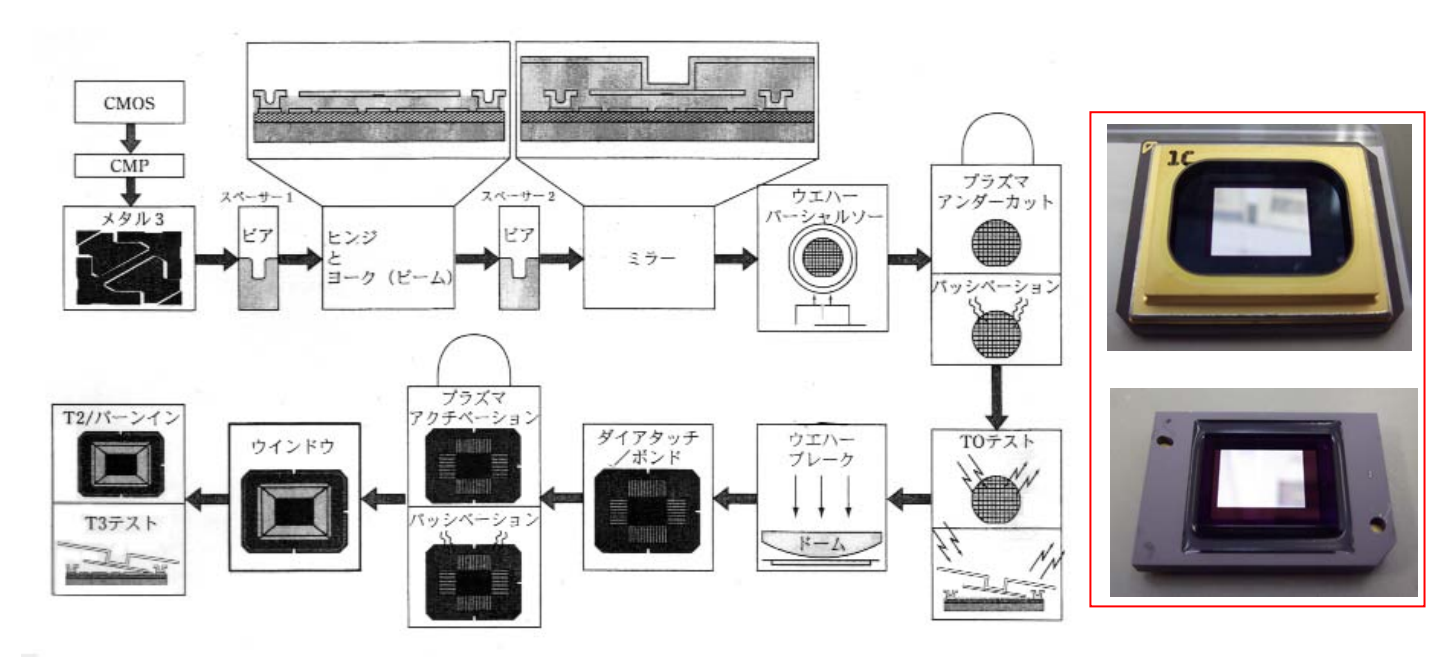




静電駆動ミラーの原理

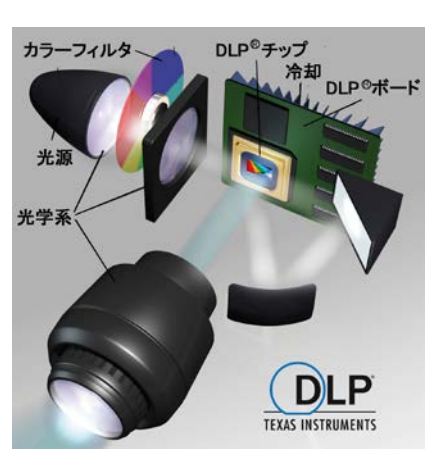
ミラーアレイの拡大写真

6 インチ(15cm 径)ウェハ上の DMD



製作工程

参考文献:P.F.Van Kessel, L.J.Hornbeck, R.E.Meier and M.R.Douglass: A MEMS-based projection display, Proc. of the IEEE, 86, 8 (1998) 1687-1704



DMD ビデオプロジェクタの原理



ディジタルシネマ映写機



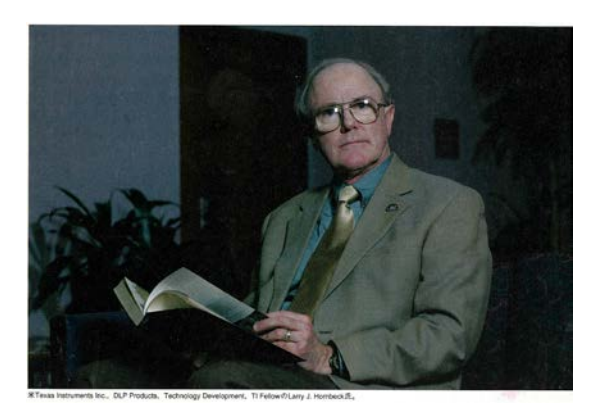
モバイル用 DLP ピコプロジェクタ

A5 DMD (Digital Micromirror Device) による映画のディジタル上映化

DLP ─光を受け継ぐ者たち─ 第1回



20年間あきらめなかった男





1995 年頃の DMDビデ オプロジェクタ (展示)

https://www.redcruise.com/magic/press/tij00597.php

DLP - 光を受け継ぐ者たち - (1-6 回), 日経エレクトロニクス, 2005.2.28 - 2005.5.9 http://www.dlp.com/jp/

100 年の歴史を持つ映画業界に HD DLP Cinema ディスプレイ・テクノロジーによるデジタル・シネマ・テクノロジーを導入した功績により、DLP チップ発明者 TI フェローのラリー J. ホーンベック博士が 2015 年 2 月 10 日にアカデミー賞を受賞

テキサス・インスツルメンツは、TI フェローのラリー J. ホーンベック博士 (Larry J. Hornbeck)が、映画の制作、配給や上映の革命的な進歩への貢献により、アカデミー科学技術賞とオスカー像を受賞したと発表しました。ホーンベック博士はデジタル・マイクロミラー・デバイス (DMD)の開発者で、DMD を採用したDLP Cinema(R)ディスプレイ・テクノロジーの設計を開発しました。DLPシネマ・テクノロジーは全世界の約8割の映画館スクリーンで採用されています。

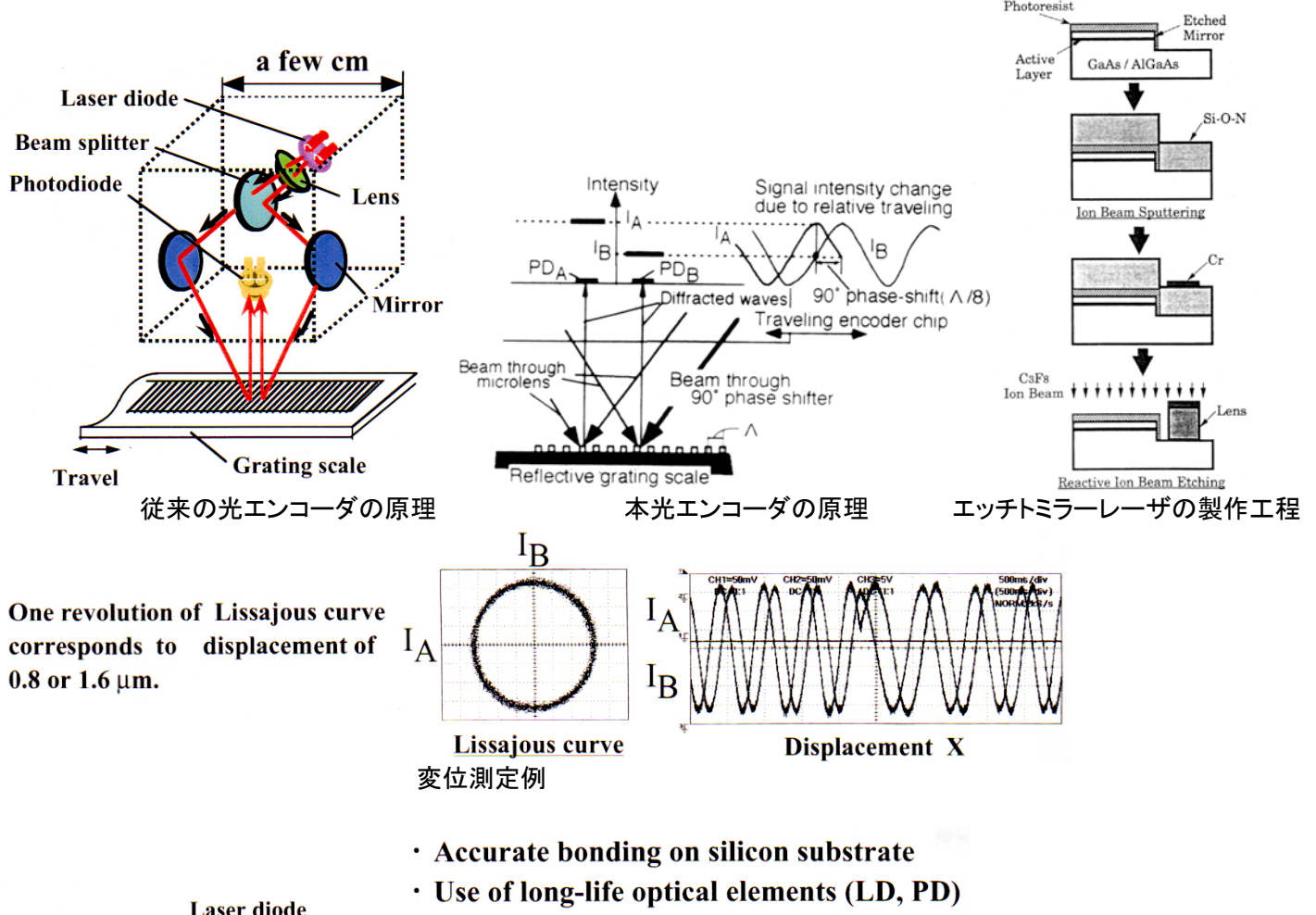
DLP シネマ・ テクノロジー は、35mm の動画フィルムと比較して、より安定した輝度と正確な色の再現が特長です。DLP シネマ・テクノロジーは、映画をまとめて配給しやすくするほか、観客は制作者が意図したとおりの映像を楽しむことができます。

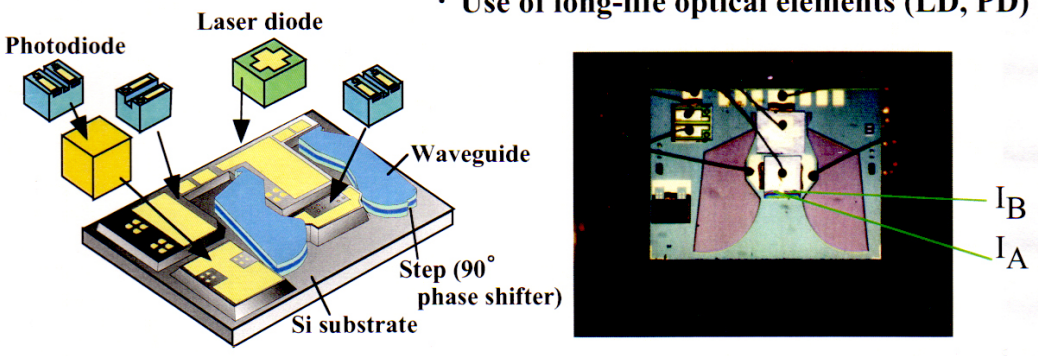
DLP チップは、1977 年に TI の中央研究所で開発がスタートし、ホーンベック博士は当初、ミラーをアナログ制御することにより光をコントロールしていましたが、期待通りに安定動作させるのが難しいものでした。 1987 年、博士は画期的なデジタル制御の DMD を開発、現在 DLP チップとして知られるようになりました。 TI は、1990 年代中頃に DLP シネマ・チームを発足させ、 $35\,\mathrm{mm}$ 動画フィルムに匹敵する品質の映画上映用デジタル・プロジェクタ開発を行いました。

1999 年に世界で初めて「スター・ウォーズ エピソード 1/2 ファントム・メナス」がデジタル上映されて以来 15年、DLP シネマ・テクノロジー搭載のデジタル・プロジェクタは全世界の 117,000 *を超える映画館スクリーンで採用されています。(*TI調べ)

DMD テクノロジーに関する画期的な研究で38件の米国特許を所有する ホーンベック博士は、次のように述べています。「アカデミー賞を受賞し大変光栄です。コアテクノロジーを定義付けた最初の考案に続き、TIの優秀なエンジニアチームと協業し、初のDMDを画期的な技術革新につなげられたことは、とても幸運な出来事でした。この革新的なデジタル・シネマ・テクノロジーの開発を続けたことで、TIのDLP Cinema部門は、映画業界の誰も想像もしなかった決定的な進歩につながりました」

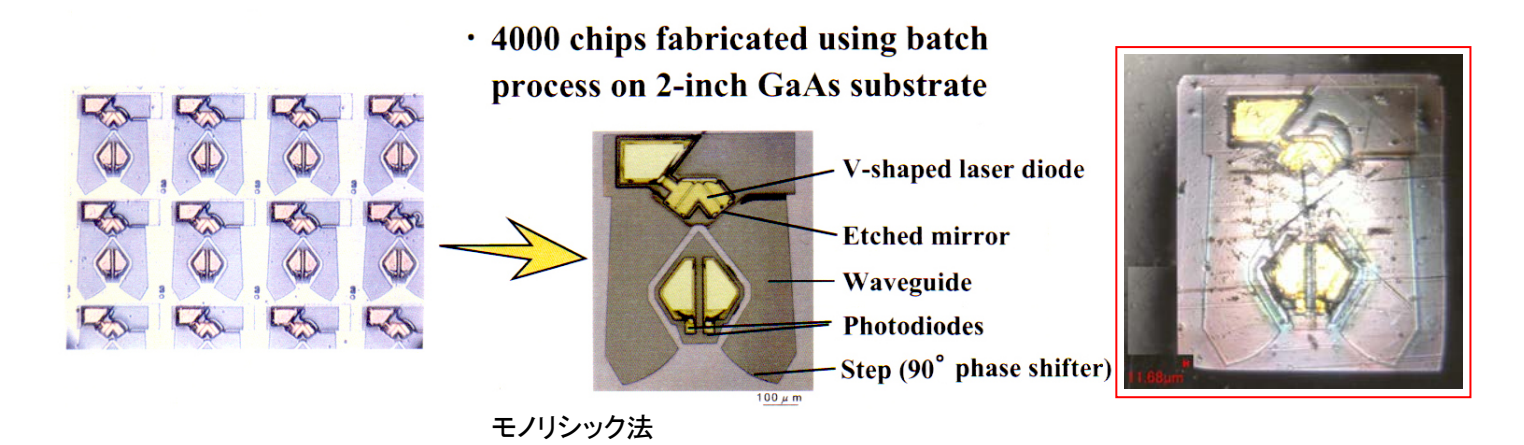
A6 光エンコーダ (NTT)





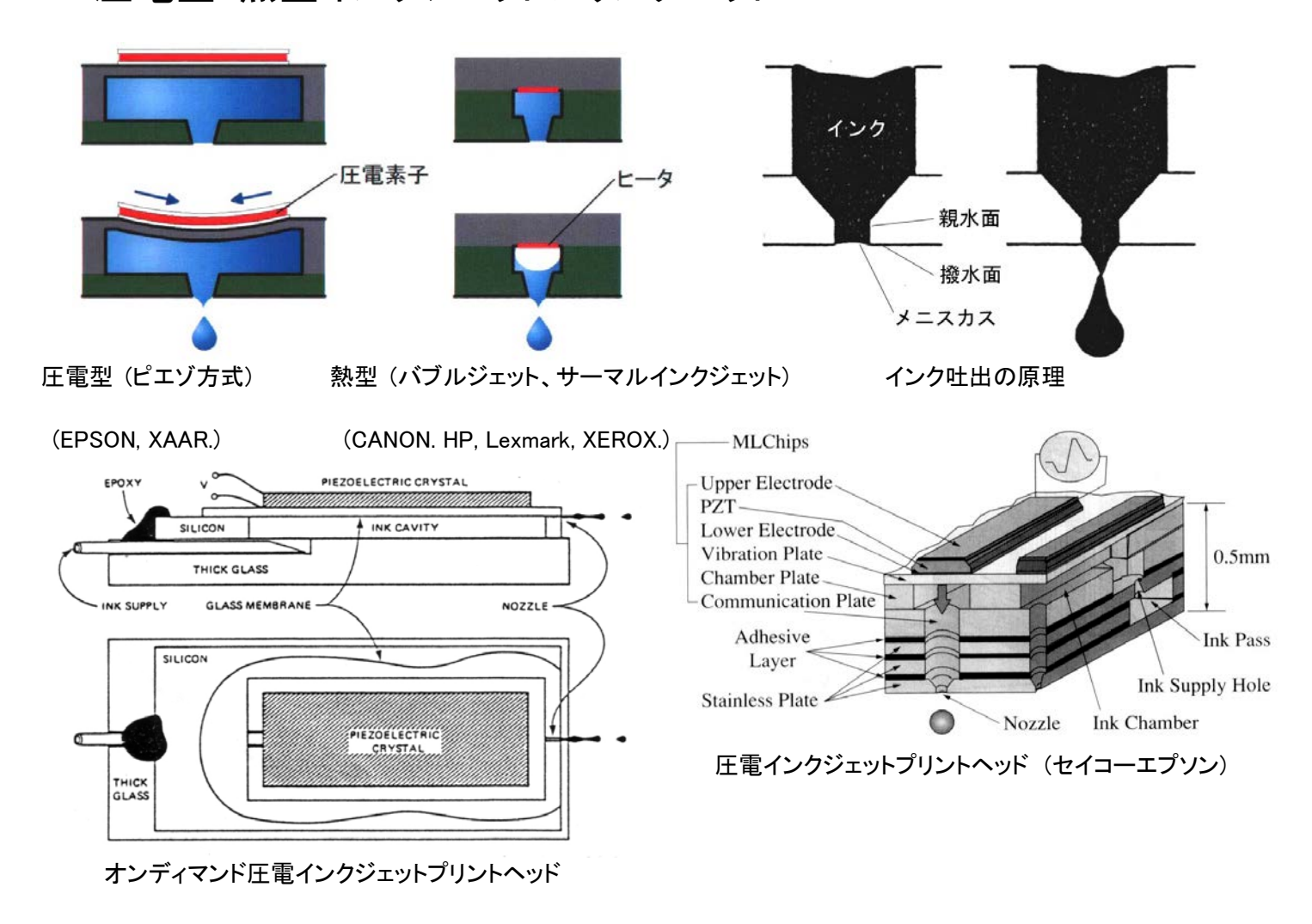


ハイブリッド法(組立)



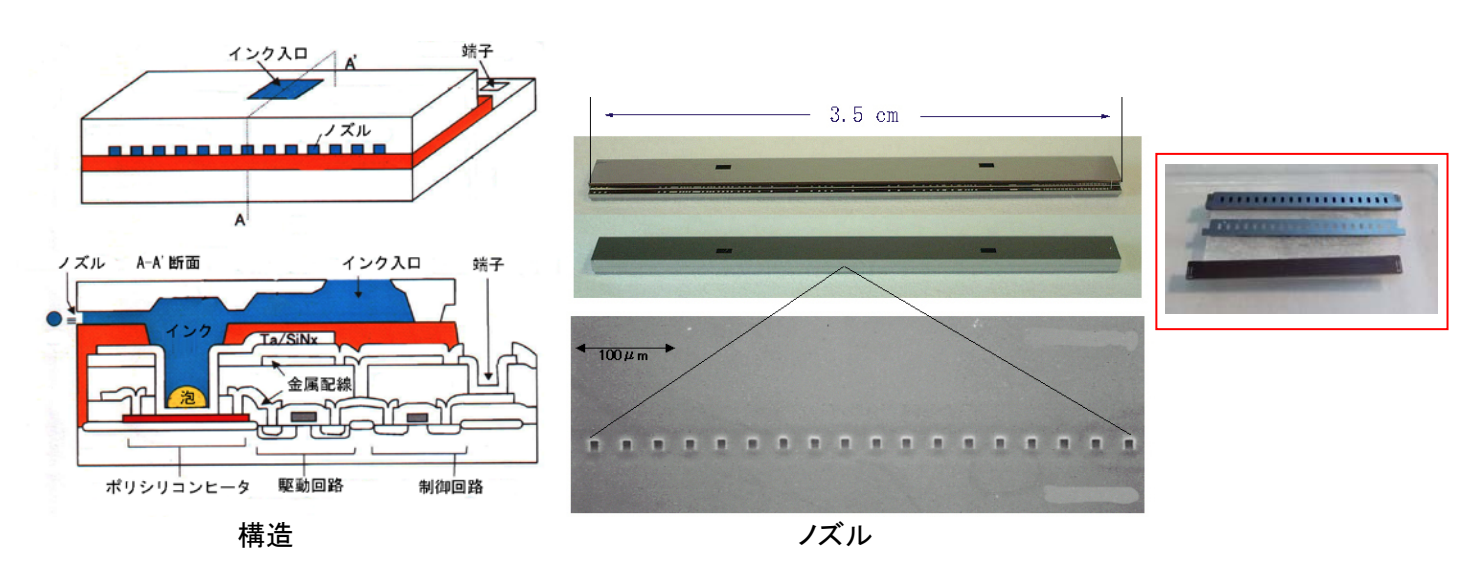
参考文献: R.Sawada, O.Ohguchi, K.Mise and M.Tsubamoto, Fabrication of Advanced Integrated Optical Micro-encorder Chip, IEEE MEMS' 94 (1994) pp.337-342

A7 圧電型・熱型インクジェットプリンタヘッド

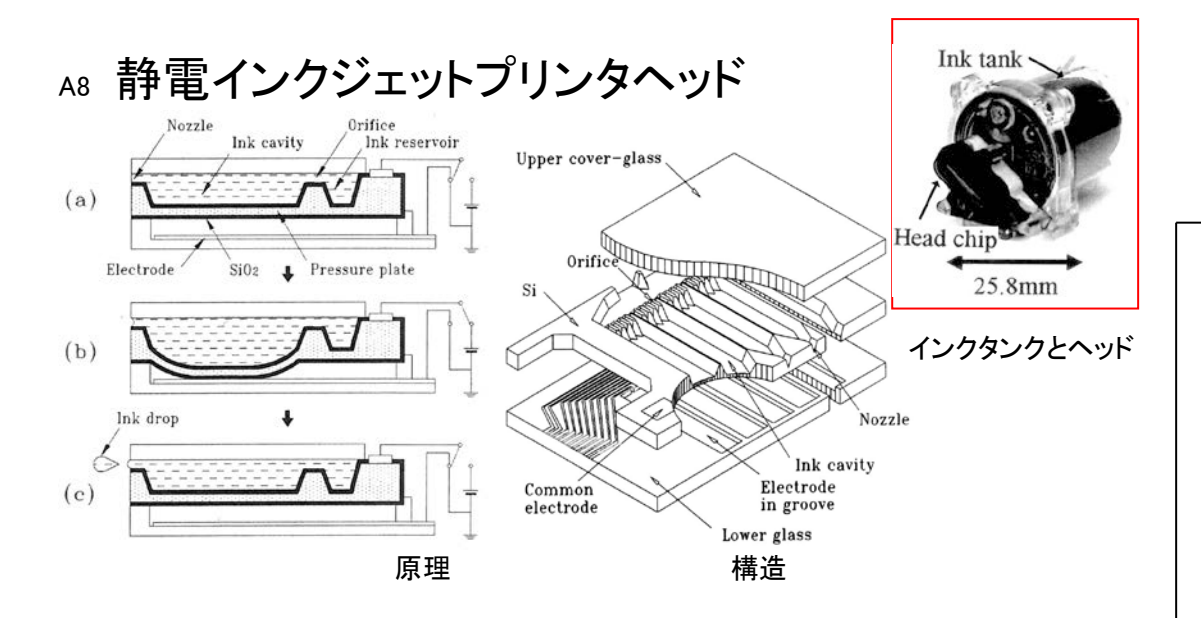


参考文献:K.P.Petersen, Fabrication of an Integrated, Plan ar Silicon Ink-Jet Structure, IEEE Trans. on Electron Devices, ED-26 (1979) pp.1918-1920

インクジェットヘッド (セイコーエプソン), 2003 マイクロマシン/MEMS 技術大全 (2003) pp.71-74

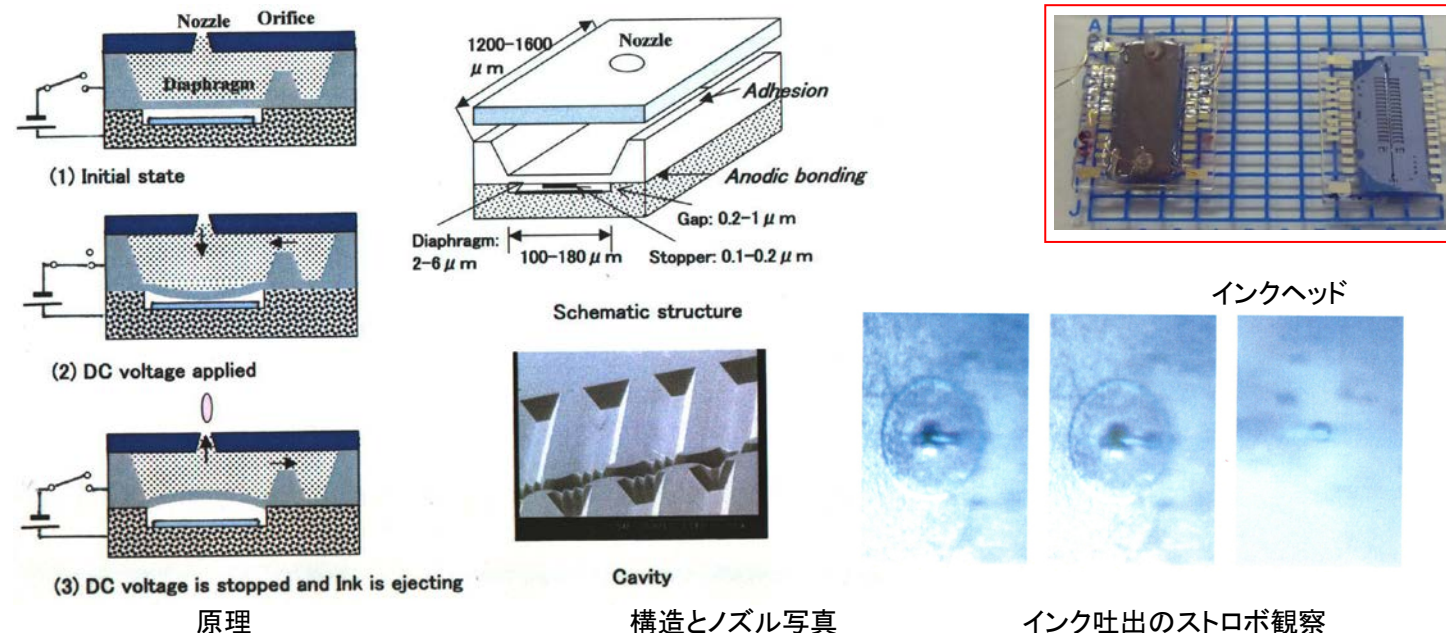


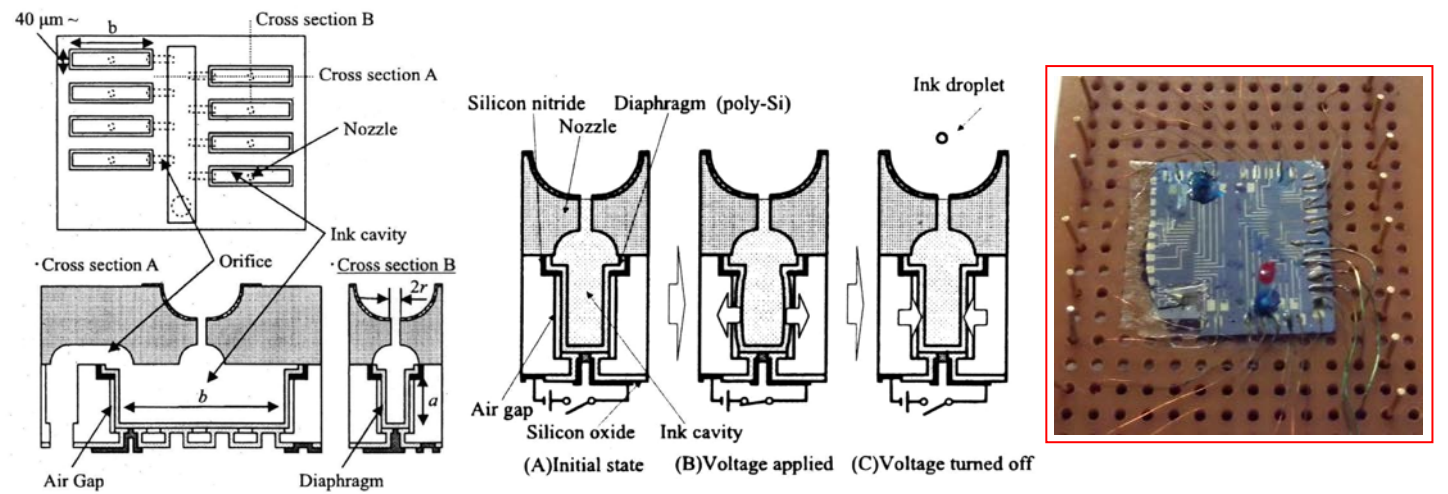
参考文献:M.Murata, M.Kataoka, R.Nayve, A.Furugawa, Y.Ueda, T.Mihara, M.Fujii and T.Iwamori, High Resolution Long Array Thermal Ink Jet Printhead with On-chip LSI Heater Plate and Micromachined Si Channel Plate, IEICE Trans. Electronics, E-84-C (2001) pp.1792-1800





静電インクジェットプリンタヘッド(セイコーエプソン) 参考文献 S.Kamisuki, T.Hagata, C.Tezuka, Y.Nose, M.Fujii and M.Atobe, A Low Power, E;ectrostatically-driven Commercial Inkjet Head, Proc. of IEEE MEMS (1998) pp.63-68

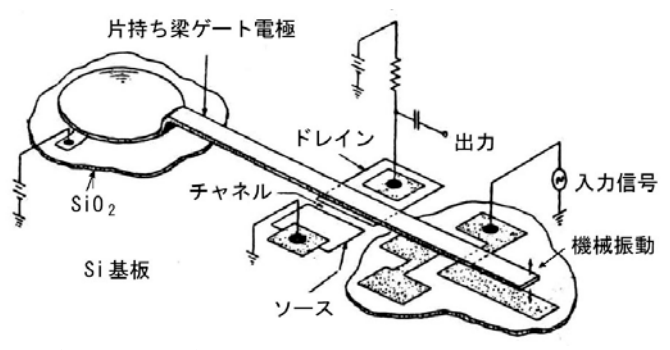


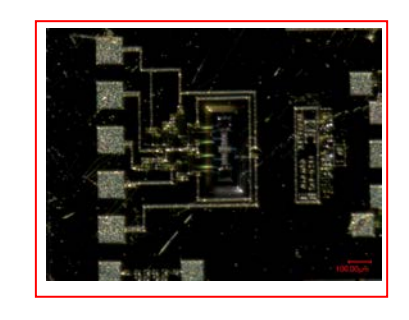


垂直ダイアフラム静電インクジェットプリンタヘッド

参考文献:T.Norimatsu, S.Tanaka and M.Esashi, Vertical Diaphragm Electrostatic Actuator for a High Density Ink Jet Printer Head, 電気学会論文誌E, 125-E (2005) pp.350-354

MEMS 共振子(米国) Α9

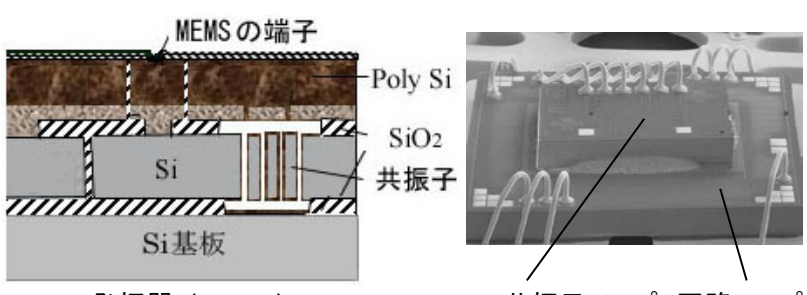




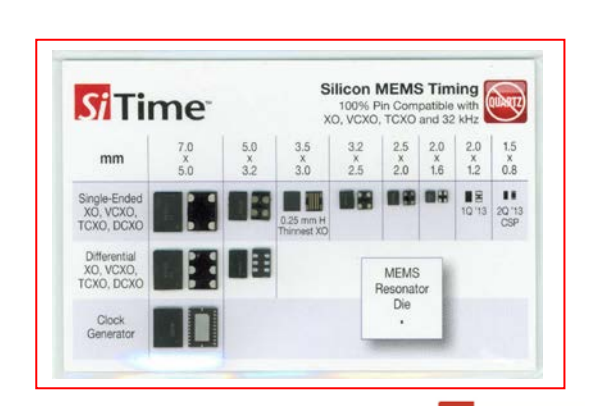
共振ゲートトランジスタ(ウェスティングハウス) 参考文献: H.C.Nathanson et.al. The resonant gate transistor, IEEE Trans. on Electron Devices, ED-14 (1967) 117-133

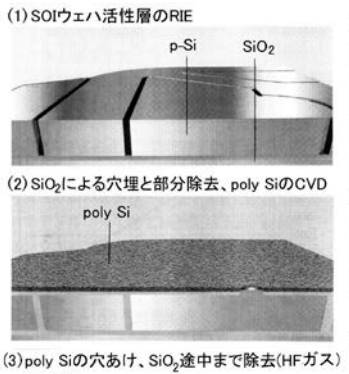
共振マイクロブリッジ (U.C.Berkeley)

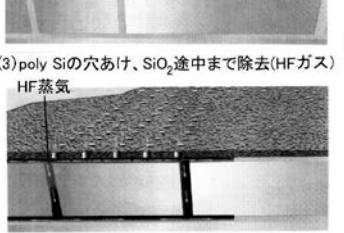
R.T.Howe and R.S.Muller, Resonant-Microbridge Vapar Sensor, IEEE Trans. on Electron Devices, ED-33 (1986) pp.499-506

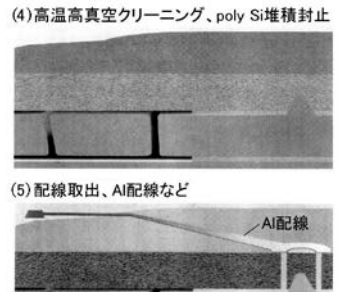


MEMS 発振器 (SiTime) MEMS 共振子チップ 回路チップ

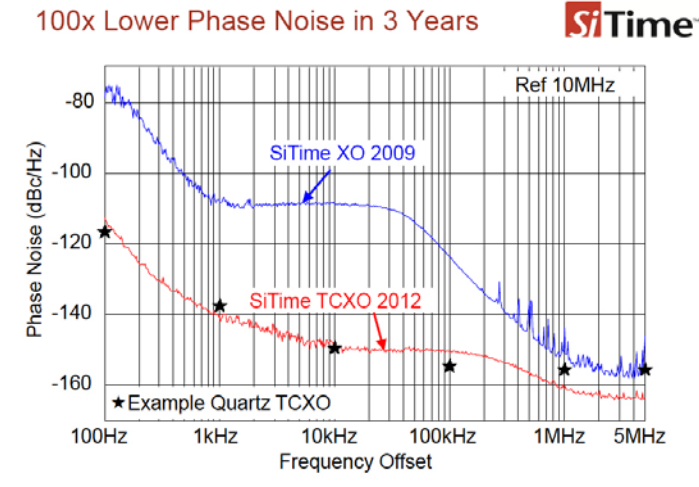












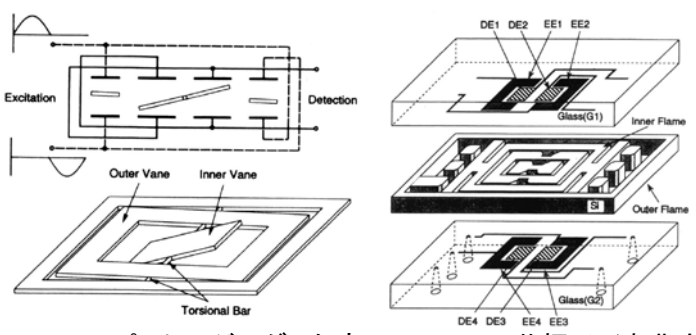


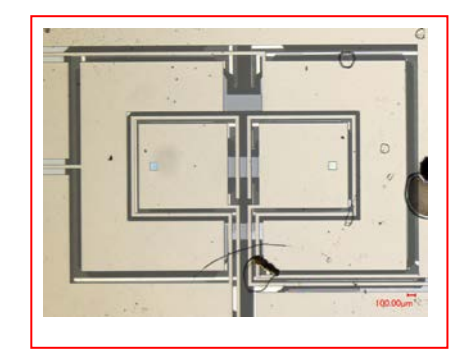




参考文献: 江刺正喜, J.McDonald and A.Partridge : Si 技術を使った MEMS 発振器 水晶発振器の置き換えを狙う, 日経エ レクトロニクス.923 (2006/04/10) pp.125-134

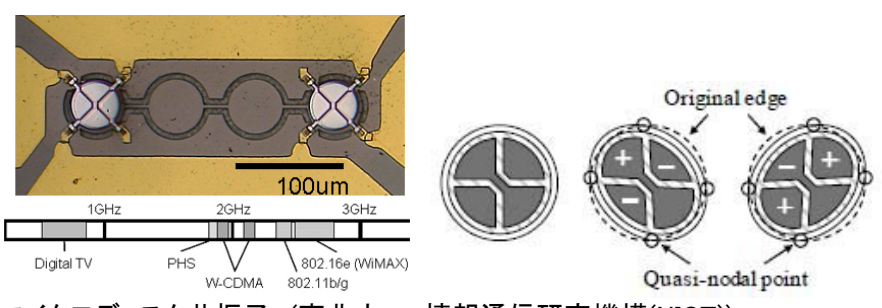
A10 MEMS 共振子(ディスク、Lamb 波 他)

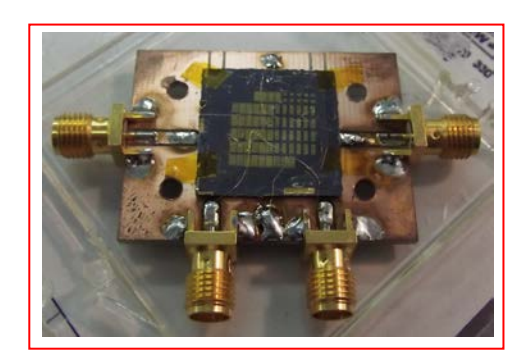




パッケージングした高 Q の MEMS 共振子 (東北大 - 島津製作所)

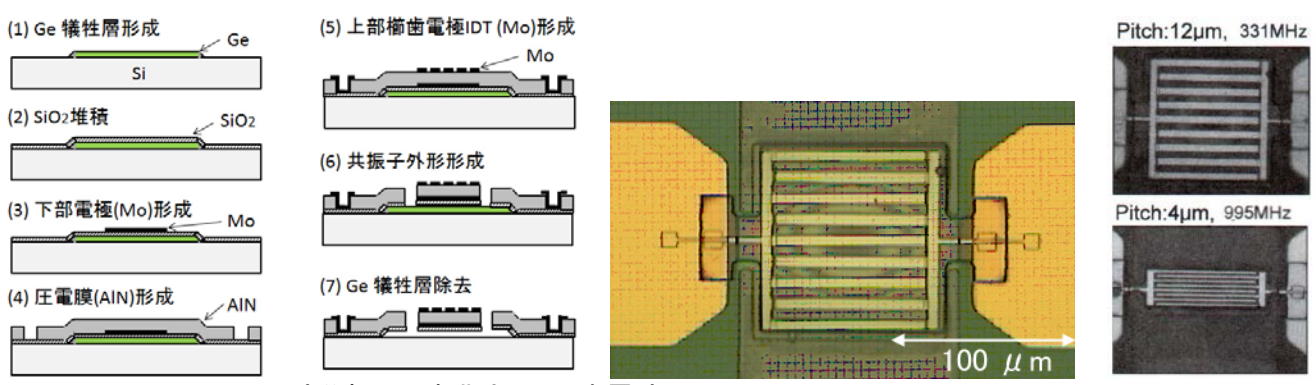
参考文献:K.Yoshimi, K.Minami, Y.Wakabayashi and M.Esashi, Packaging of Resonant Sensors, Technical Digest of the 11th Sensor Symposium(1992) pp.35-38





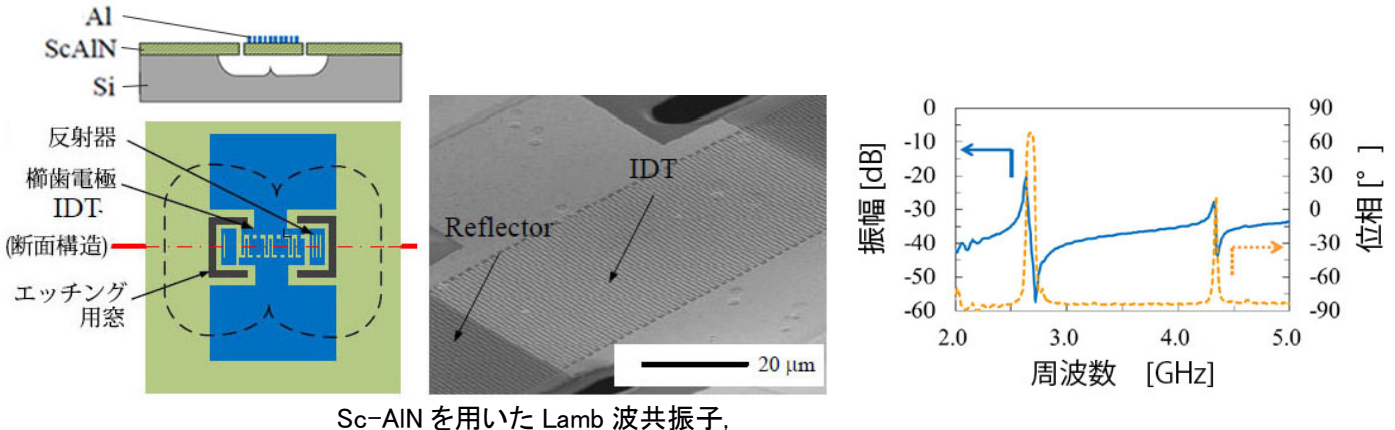
マイクロディスク共振子(東北大 - 情報通信研究機構(NICT))

参考文献:T.Matsumura, M.Esashi, H.Harada and S.Tanaka: Multi-band Radio-frequency Filter Fabricated Using Polyimide-based Membrane Transfer Bonding Technology, J. of Micromech. Microeng., 20, 9 (2010) 095027(9pp)



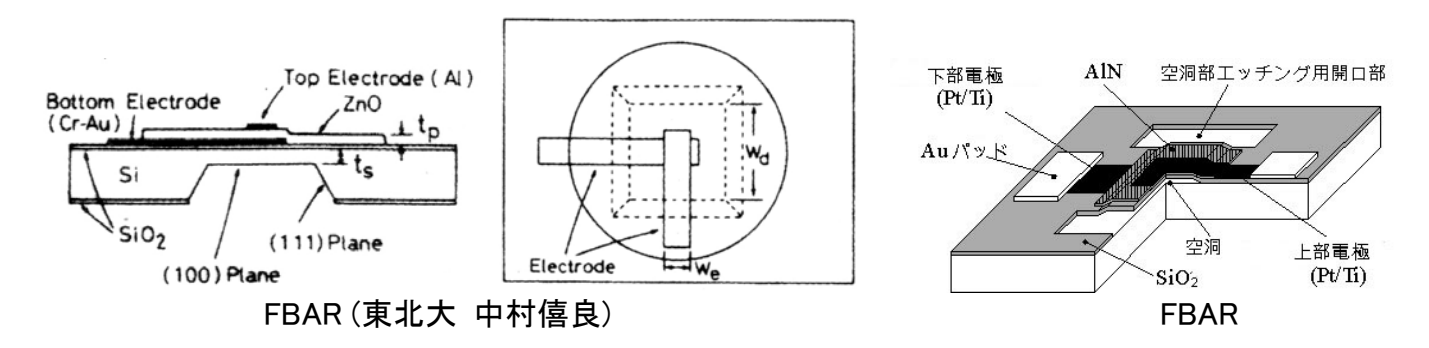
Lamb 波共振子(東北大 - 日本電波)

参考文献:K.Hirano, M.Esashi and S.Tanaka, Aluninum Nitride Lamb Wave Resonator Using Germanium Sacrificial Layer, 2nd International Workshop on Piezo-devices Based on Latest MEMS Technologies (2008) pp.111-117



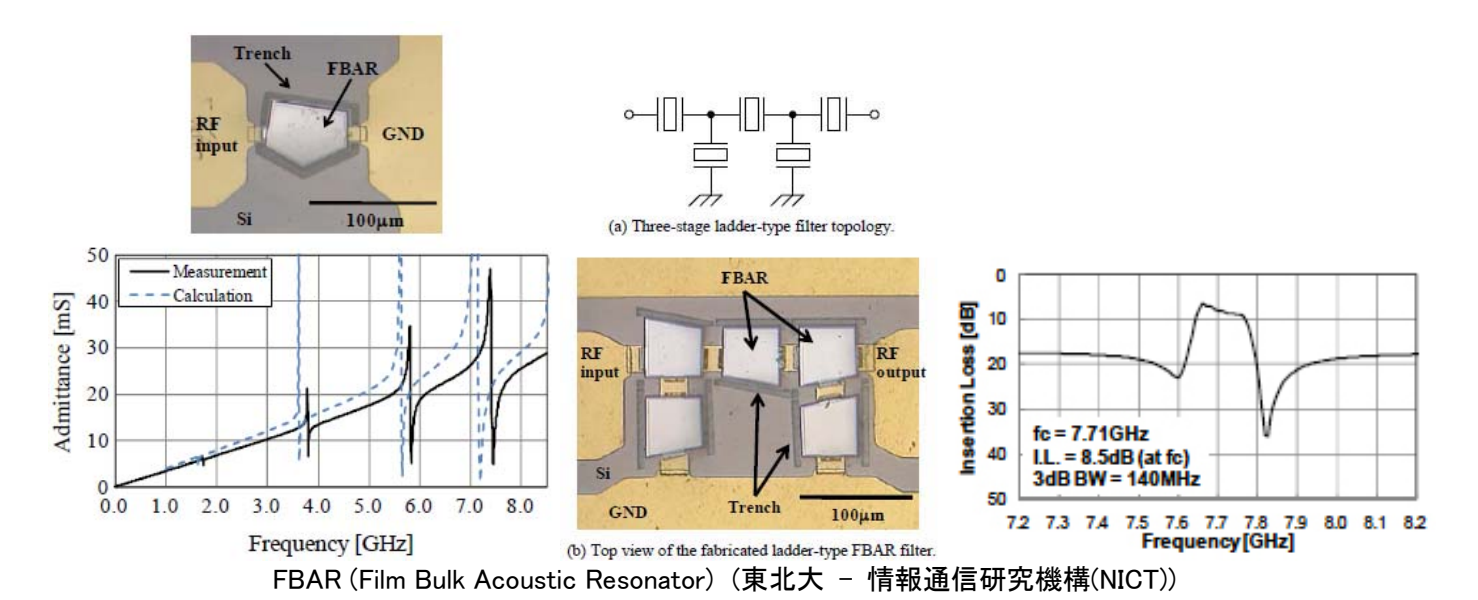
参考文献:A.Konno et.al:ScAIN Lamb Wave Resonator in GHz Range Released by XeF₂ Etching, 2013 IEEE Ultrasonics Symposium 2013 1378-1381)

A11 FBAR (Film Bulk Acoustic Resonator) 薄膜バルク音響波共振子

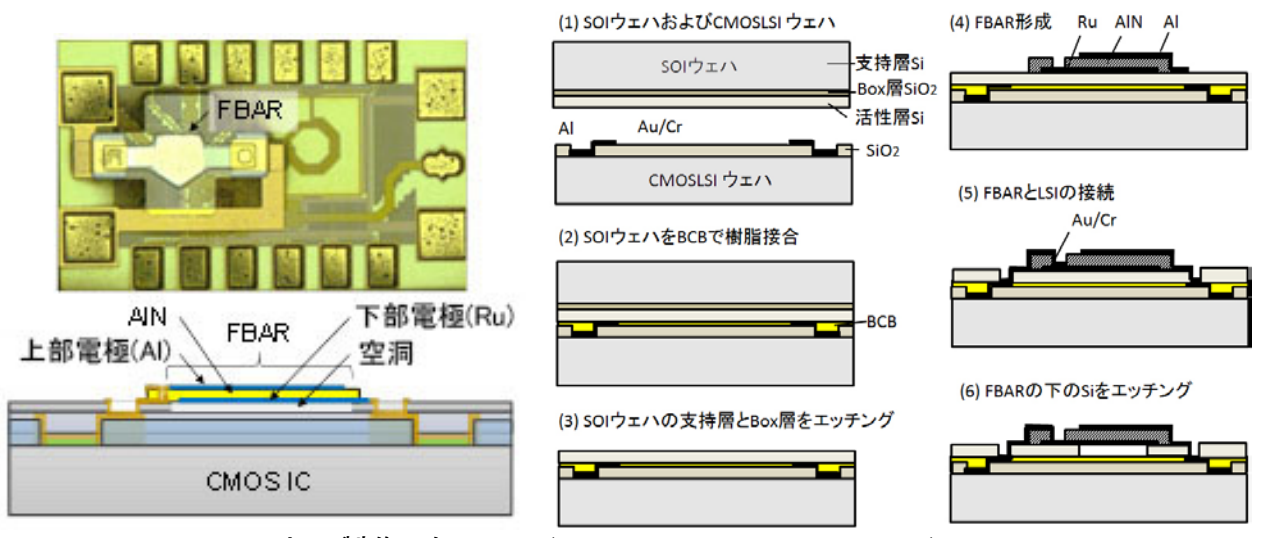


参考文献:K.Nakamura, H.Sasaki and H.Shimizu, A Piezoelectric Composite Resonator Consisting of a ZnO Film on an Anisotropically Etched Silicon Substrate, Proc. of 1st Symp. On Ultrasonic Electronics (1980), Jap. J. of Applied Physics, 20(1981) Supplement 20-3, pp.111-114

M.Hara, J.Kuypers, T.Abe and M.Esashi, Surface Micromachined AIN Thin Film 2GHz Resonator for CMOS Integration, Sensors & Actuators A, 117 (2005) pp.211-216



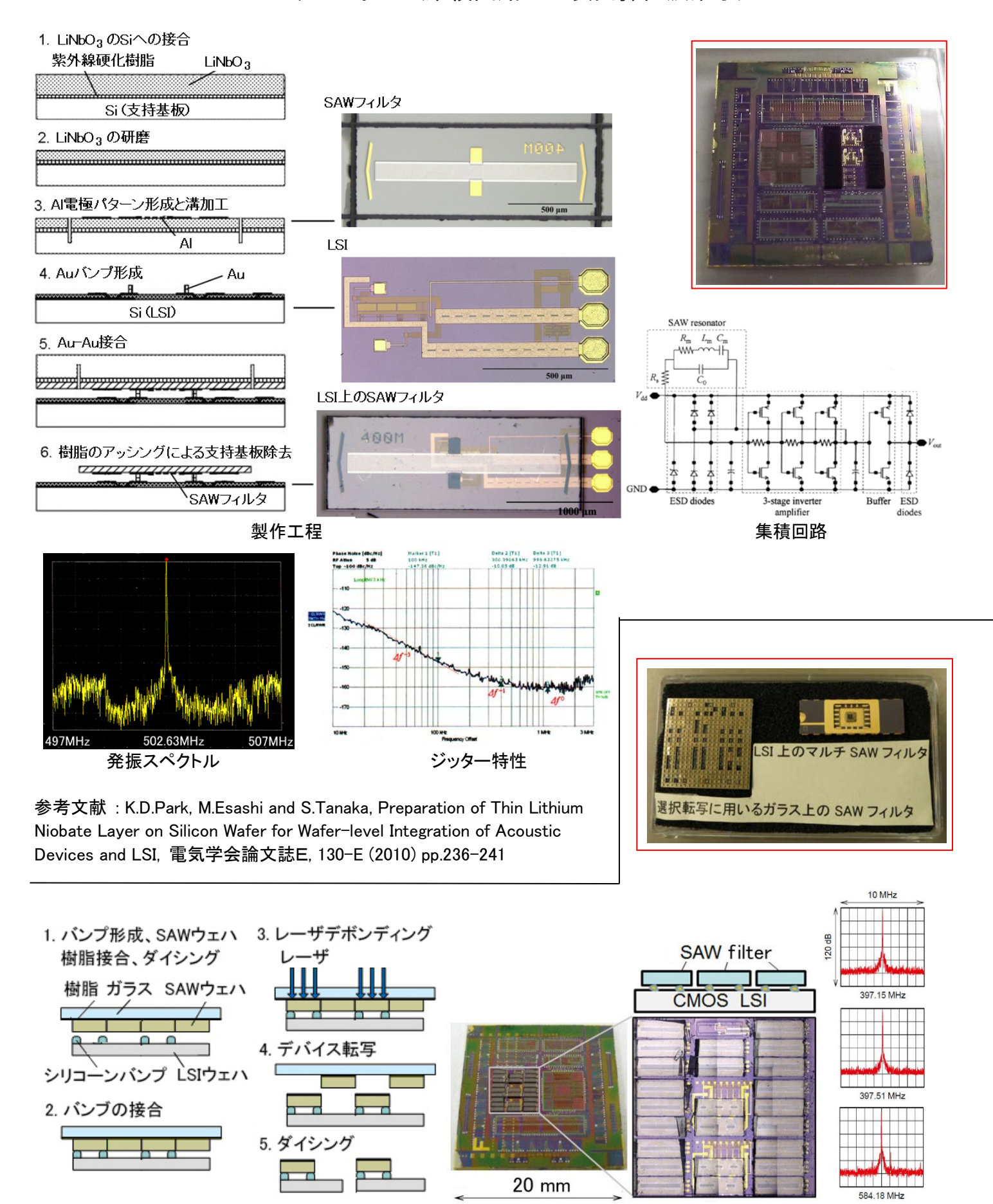
参考文献: T.Matsumura, M.Esashi, H.Harada and S.Tanaka, Multi-band Radio-frequency Filter Fabricated Using Polyimide-based Membrane transfer Bonding Technology, J. of Micromech. Microeng., 20 (2010) 095027(9pp)



LSI 上に製作した FBAR(film bulk acoustic resonator)

参考文献: Kochhar et. al, 2012 IEEE Internl. Ultrasonic Symp. (2012) 1047

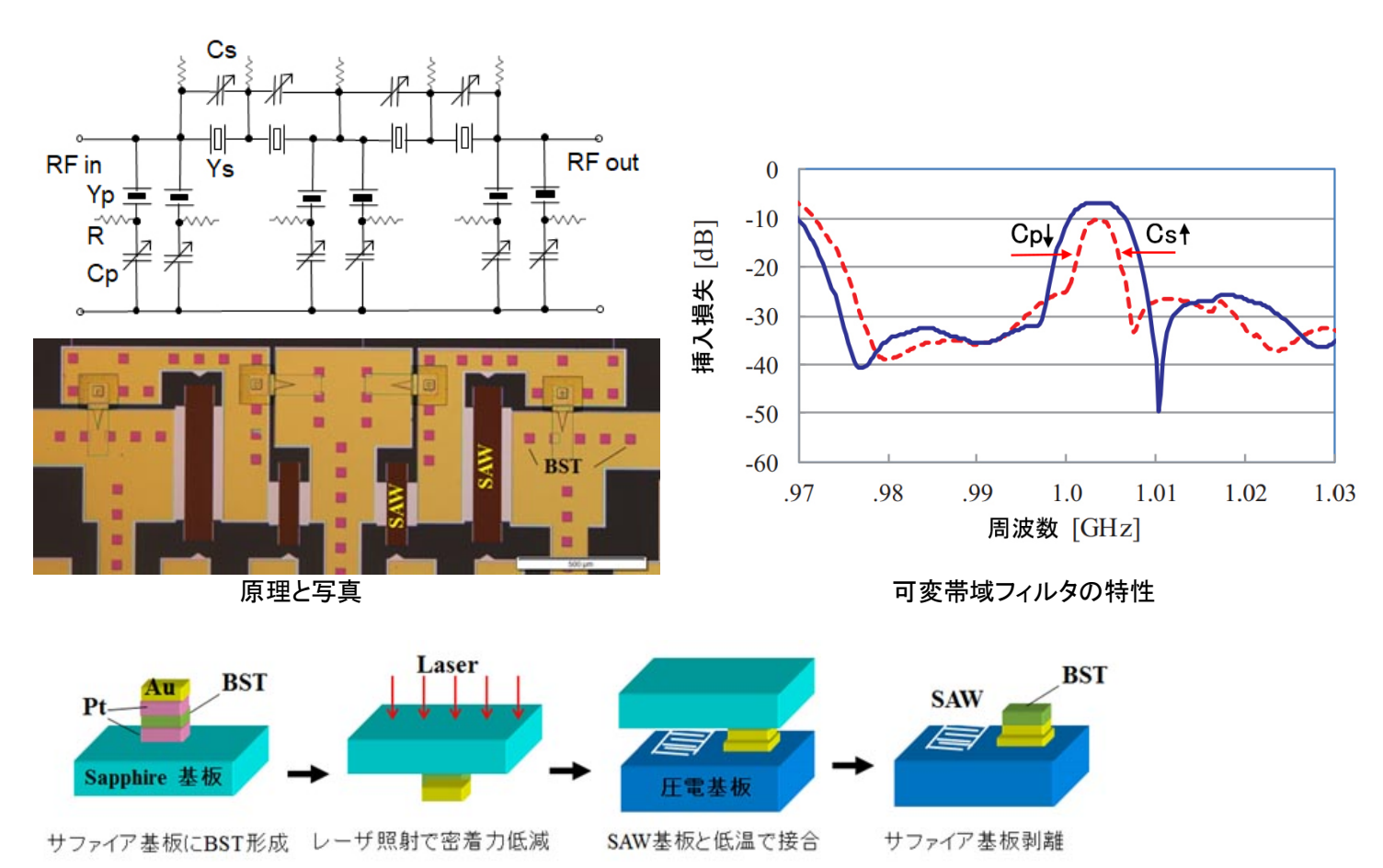
A12 LSI 上の SAW デバイス (集積回路上の表面弾性波素子)



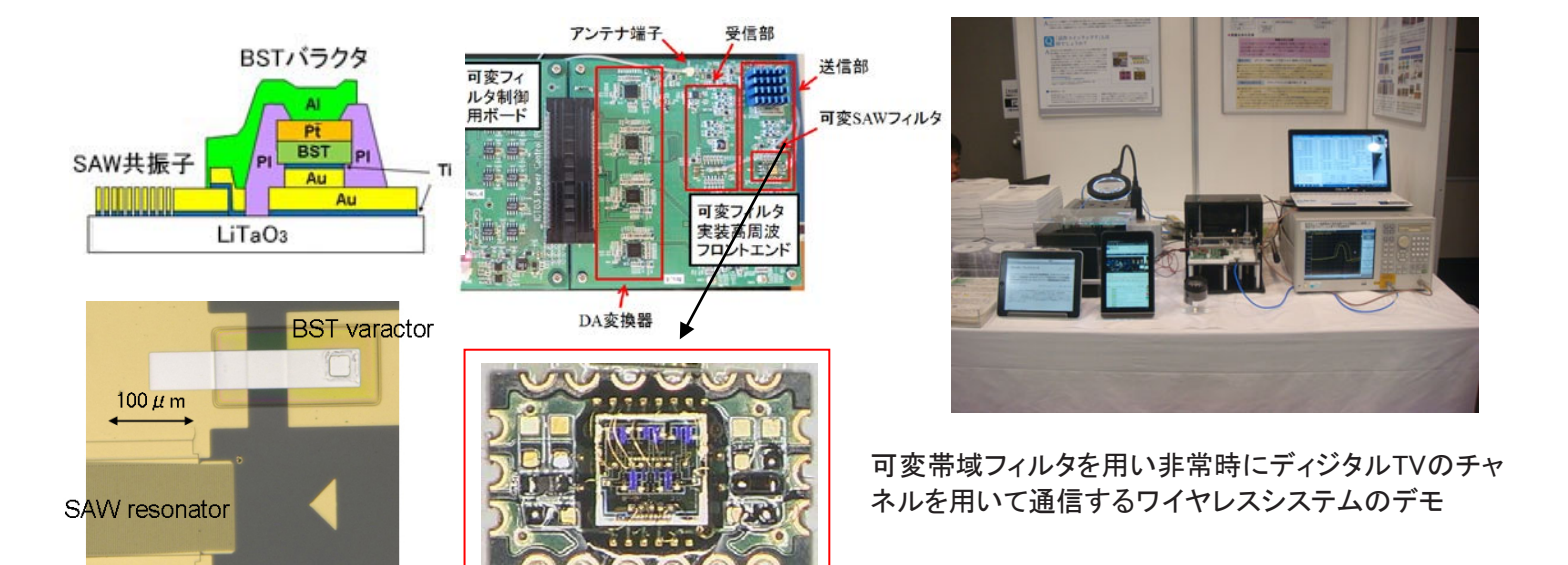
Reference; S. Tanaka, M. Yoshida, H. Hirano and M. Esashi, Lithium Niobate SAW Device Hetero-transferred onto Silicon Integrated Circuit Using Elastic and Sticky Bumps, 2012 IEEE International Ultrasonics Sympsium (2012) p.1047

選択転写工程とそれを用いた LSI 上マルチ SAW フィルタ

A13 可変容量付帯域可変 SAW フィルタ



強誘電体(BST((Ba_{1-x}Sr_x)TiO₃)を用いた可変容量素子の製作工程



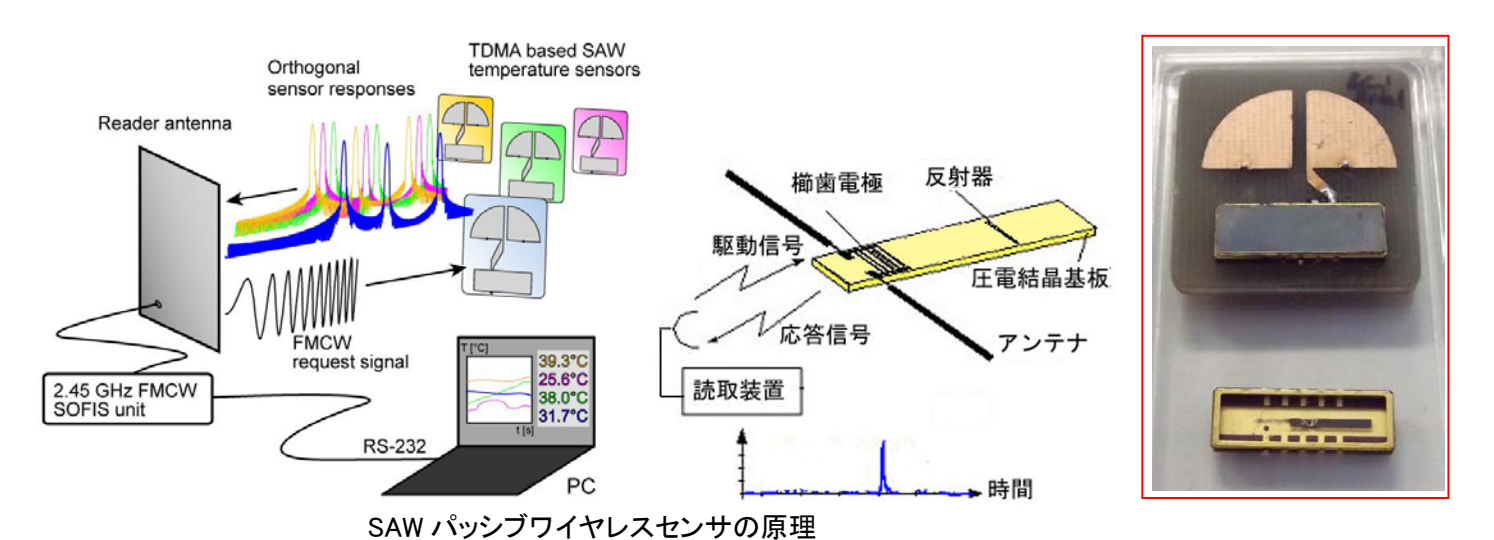
可変帯域フィルタ

参考文献: Hideki Hirano et.al, Bandwidth-tunable SAW Filter Based on Wafer-level Transfer-integration of BaSrTiO₃ Film for Wireless LAN System using TV White Space, Proc. IEEE Ultrason. Symp., Chicago, USA (2014) 803-806

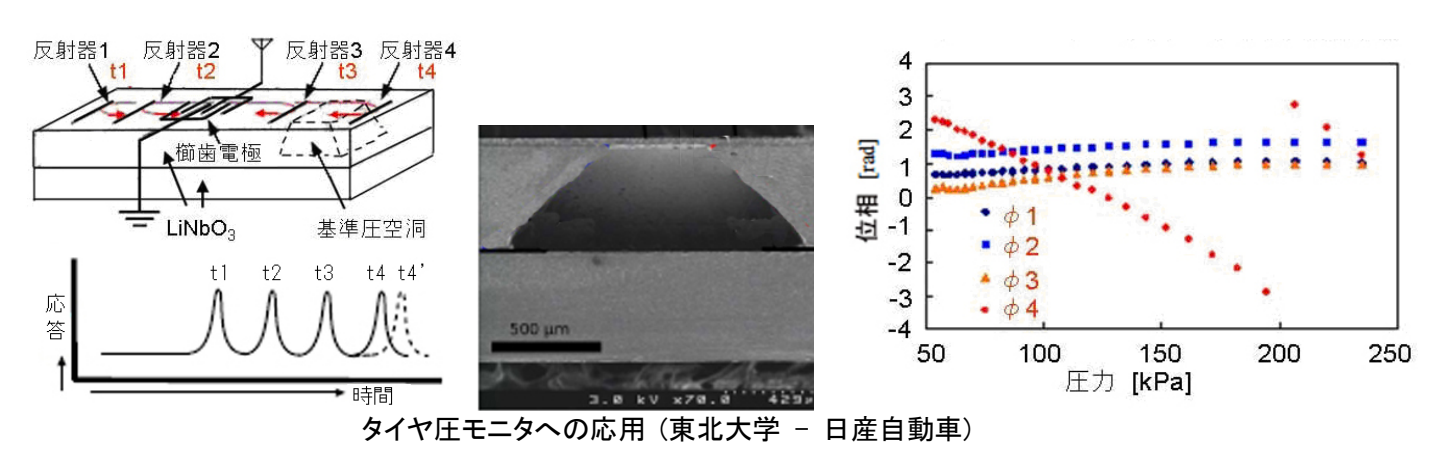
参考文献: H.Hirano, T.Kimura, I.P.Koutsaroff, M.Kodato, K.Hashimoto, M.Esashi and S.Tanaka, Integration of BST Varactors with Surface Acoustic Wave Device by Film Transfer Technology for Tunable RF Filters, J. of Micromech. Microeng., 23, 2 (2013) 025005 (9pp)

A14 SAW パッシブワイヤレスセンサ

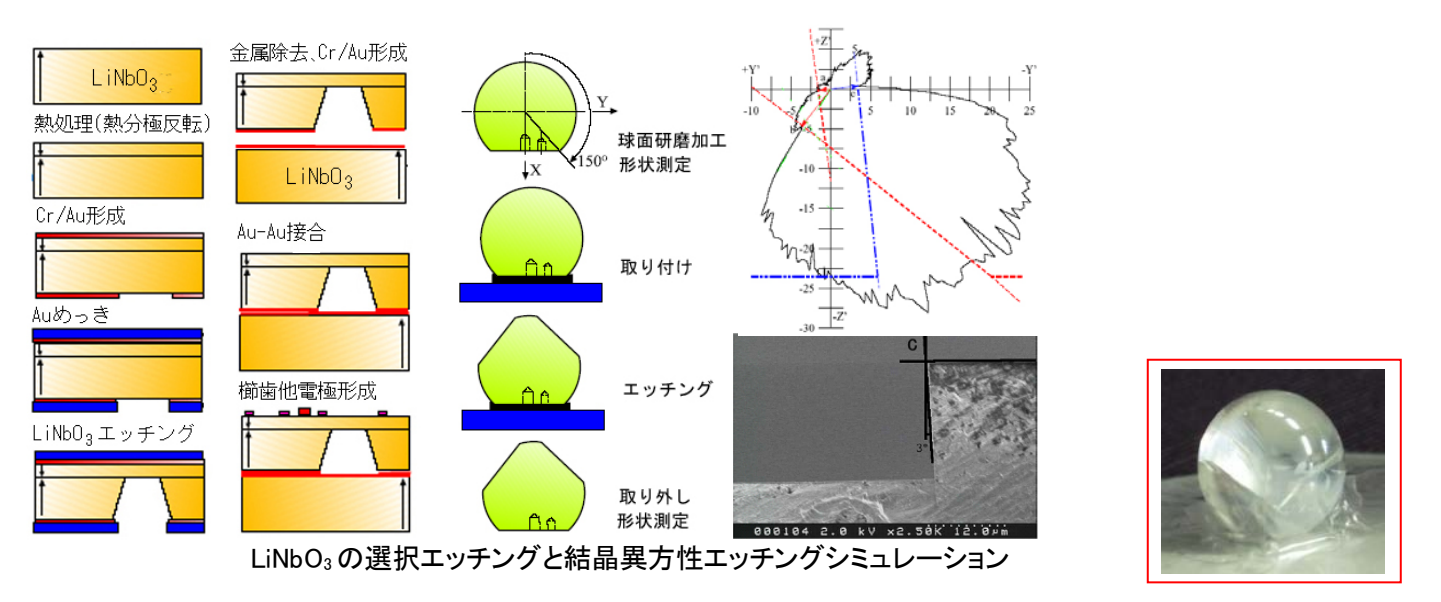
(戦略的情報通信研究開発推進制度(SCOPE) 2006 年度 - 2008 年度)



参考文献:J. H. Kuypers, L. M. Reindl, S. Tanaka and M. Esashi, Maximum Accuracy Evaluation Scheme for Wireless SAW Delay Line Sensors, IEEE Transactions on Ultrasonics, Ferroelectrics, and Frequency Control, 55 (2008) pp.1640-1652



参考文献:S.Hashimoto, J.H.Kuypers, S.Tanaka and M.Esashi, Design and Fabrication of Passive Wireless SAW Sensor for Pressure Measurement, 電気学会論文誌E, 128 (2008) pp.231-234



参考文献:A. B. Randles, M. Esashi and S. Tanaka, Etch Stop Process for Fabrication of Thin Diaphragms in Lithium Niobate, Jap. J. of Applied Physics, 46 (2007) pp.L1099-L1101

A.B.Randles, M.Esashi and S.Tanaka, Etch Rate Dependence on Crystal Orientation of Lithium Niobate, IEEE Trans. on Ultrasonics, Ferroelectrics, and Frequency Control, 57 (2010) pp.2372–2380